

· 实验研究 ·

SNAI2与E-cadherin参与LRIG1对U251细胞侵袭与转移的抑制作用

陶祥 陈晨 陶芸 张申起 刘宝辉 廖健明 张文斐 陈谦学

【摘要】目的 探讨多亮氨酸重复区免疫球蛋白样蛋白1(LRIG1)对人脑胶质瘤U251细胞侵袭与转移及U251细胞SNAI2、E-cadherin表达的影响。方法 传代培养U251细胞,随机分为空白对照组、LRIG1空载体组、LRIG1过表达组、LRIG1低表达组、LRIG1低表达阴性对照组,应用脂质体介导的基因转染技术分别转染PBS、PEGFP-N1-U251质粒、PEGFP-LRIG1-U251质粒、LRIG1-siRNA、LRIG1-NC-siRNA。应用PCR、Western blot检测细胞LRIG1、SNAI2、E-cadherin mRNA和蛋白表达水平,Transwell侵袭实验检测细胞侵袭能力,划痕实验检测细胞转移能力。结果 LRIG1过表达组U251 SNAI2表达下调($P<0.05$),E-cadherin表达上调($P<0.05$),细胞侵袭与转移能力明显下降($P<0.05$)。LRIG1低表达组U251细胞SNAI2表达上调($P<0.05$),E-cadherin表达下调($P<0.05$),细胞侵袭与转移能力明显提高($P<0.05$)。结论 上调LRIG1可抑制U251细胞侵袭与转移,而敲除LRIG1可明显促进U251细胞侵袭与转移,SNAI2及E-cadherin可能参与其调节过程。

【关键词】胶质瘤;U251细胞;LRIG1;SNAI2;E-cadherin;侵袭;转移

【文章编号】1009-153X(2016)09-0536-04 **【文献标志码】**A **【中国图书资料分类号】**R 739.41; Q 786

Role of SNAI2 and E-cadherin in regulation of invasiveness and metastasis of human gliomas U251 cells by LRIG1

TAO Xiang¹, CHEN Chen², TAO Yun³, ZHANG Shen-qⁱ, LIU Bao-hui¹, LIAO Jian-ming¹, ZHANG Wen-fei¹, CHEN Qian-xue¹. 1. Department of Neurosurgery, Renmin Hospital, Wuhan University, Wuhan 430060, China; 2. School of Stomatology, Shandong University, Ji'an 250012, China; 3. Department of Stomatology, Hubei University of Medicine, Shiyan 442000, China

[Abstract] Objective To investigate the role of leucine-rich repeats and immunoglobulin-like domains 1 (LRIG1) in regulation of invasiveness and metastasis of human glioma U251 cells and the effects of SNAI2 and E-cadherin on it. Methods The cultured human glioma U251 cells were randomly divided into five groups, i.e. blank control group, LRIG1 vector group, LRIG1 over-expression group, LRIG1 low-expression group and LRIG1 low-expression negative control group, in which the PBS, PEGFP-N1 plasmid, PEGFP-LRIG1 plasmid, LRIG1-siRNA and LRIG1-NC-siRNA were transfected into the U251 cells, respectively. The mRNA and protein expressions of LRIG1, SNAI2 and E-cadherin were detected by real time-PCR and Western blotting, respectively. The invasiveness of U251 cells was determined by transwell chamber assay, and the migration of U251 cells was detected by transwell chamber assay with a matrigel coating and wound healing test. Results The levels of LRIG1 and E-Cadherin mRNA and proteins expressions were significantly higher in LRIG1 over-expression group than other groups ($P<0.01$), and they were significantly lower in LRIG1 low-expression group than blank control, LRIG1 vector group and low-expression negative control groups ($P<0.05$). The levels of SNAI2 mRNA and protein expressions were significantly higher in LRIG1 low-expression group than other groups ($P<0.05$), and they were significantly lower in LRIG1 over-expression group than blank control, LRIG1 vector group and low-expression negative control groups ($P<0.01$). The invasive and migration activities of U251 were significantly inhibited in LRIG1 over-expression group compared to other groups ($P<0.01$), and they were significantly enhanced in LRIG1 low-expression group compared to blank control, LRIG1 vector group and low-expression negative control groups ($P<0.01$). Conclusion It is suggested that LRIG1 regulates the invasion and migration of gliomas U251 cells probably via the activation of SNAI2 and E-cadherin signaling pathway.

【Key words】Glioma U251 cells; LRIG1; SNAI2; E-cadherin; Invasiveness; Migration

多亮氨酸重复区免疫球蛋白样蛋白1

doi:10.13798/j.issn.1009-153X.2016.09.009

基金项目:国家自然科学基金(81372683)

作者单位:430060 武汉,武汉大学人民医院神经外科(陶祥、张申起、刘宝辉、廖健明、张文斐、陈谦学);250012 济南,山东大学口腔医学院(陈晨);442000 十堰,湖北医药学院口腔医学系(陶芸)

通讯作者:陈谦学,E-mail:chenqx666@sohu.com

(leucine-rich repeats and immunoglobulin-like domains 1, LRIG1)属细胞表面跨膜蛋白,包含15个富亮氨酸重复结构以及3个免疫球蛋白样结构域,在许多恶性肿瘤如脑胶质瘤中低表达^[1],而且LRIG1具有抑制恶性肿瘤细胞增殖、侵袭及转移的作用^[2,3],但是其具体机制目前尚不清楚^[4]。SNAI2基因表达产物为Slug蛋白,一种癌基因转录调节因子,对癌细

胞的转移起关键性的调节作用^[5];还可诱导肿瘤细胞产生上皮-间充质转化(epithelial to mesenchymal transition, EMT)。钙粘素家族蛋白是一组钙依赖的细胞表面粘附因子,通过与钙离子的相互作用,重组肌动蛋白细胞骨架,参与细胞间的粘附^[6]。E钙粘素(E-cadherin)是钙粘素家族蛋白中表达于上皮组织细胞表面的主要亚型。E钙粘素表达缺失可直接导致上皮细胞出现细胞极性消失、细胞间接接触减少等上皮细胞EMT典型改变。本研究探讨SNAI2、E-cadherin在LRIG1调节U251细胞侵袭及转移过程中的作用。

1 材料和方法

1.1 U251 细胞培养 人脑胶质母细胞瘤U251细胞株(由武汉大学人民医院神经外科刘宝辉博士惠赠)培养于含10%胎牛血清(杭州四季青生物材料研究所)的DMEM培养基(美国Gibco公司),添加适量Hepes和3%谷氨酰胺。每3 d一次以含EDTA的0.25%胰酶(美国Gibco公司)消化,1:3传代。

1.2 LRIG1 质粒转染 将对数生长期U251细胞用0.25%胰酶消化后,以 2×10^5 个/孔密度接种于6孔板,待其生长至80%融合时,应用FUGENE HD试剂盒(瑞士Roche公司)按说明书分别转染PBS(对照组)、PEGFP-N1质粒体(空载体组)、PEGFP-LRIG1质粒体(过表达组,由武汉大学人民医院神经外科易伟博士惠赠)。6 h后将细胞培养基换成DMEM培养基。

1.3 LRIG1 siRNA 的构建与转染 siRNA(上海吉玛公司)是为LRIG1做设计的特异性寡核苷酸链,其序列为5'-ACTCTCTGAGATTGACCCCT-3'(低表达组)。阴性对照组siRNA序列为5'-ACTACCGTGTTATAGGTG-3'。对数生长期U251细胞用0.25%胰酶消化后以 2×10^5 个/孔密度接种于6孔板,8 h后应用Lipofectamine 2000试剂盒(美国Invitrogen公司)按说明书转染LRIG1 siRNA。48 h后提取RNA和蛋白。

1.4 PCR 检测LRIG1、SNAI2 及 E-cadherin mRNA 转染 48 h后,利用Trizol试剂一步法提取各组U251细胞总RNA,紫外分光光度计测定浓度和纯度。取3 μg总RNA用逆转录酶进行反转录,PCR扩增目的片段,以GADPH作为内参。反应条件为:93 °C预变性2 min,93 °C变性30 s,57 °C退火1 min,71 °C延伸1 min,31个循环,最后延伸7 min。ΔCT法计算mRNA表达水平。

1.5 免疫印迹法检测LRIG1、SNAI2 及 E-cadherin 蛋

白转染48 h后,提取各组U251细胞总蛋白,BCA法测蛋白浓度。按40 μg/孔上样后进行常规变性聚丙烯酰胺凝胶电泳。应用湿法将蛋白转移到聚偏氟乙烯膜上,首先5%牛血清白蛋白溶液室温下封闭2 h,一抗封闭4 °C过夜,随后TBST溶液洗膜10 min,3次,加入按1:5 000稀释的二抗,室温孵育1 h,TBST溶液洗膜10 min,3次,ECL发光液孵育。根据条带亮度调整胶片曝光时间后将片按步骤显影,定影。

1.6 Transwell 实验检测U251 细胞侵袭能力 ①转移实验:将细胞加入无血清培养基孵育12 h后取 1×10^5 细胞加入800 μl无血清培养基中并加入1 g/L牛血清白蛋白维持渗透压后加入Transwell小室(杭州四季青生物材料研究所)上层。Transwell下室中加含有10%胎牛血清的培养基1 ml。孵育24 h后取出Transwell小室,用下室培养基充分淋洗下室的底面后再用无菌医用棉签擦去薄膜上上层的细胞,结晶紫染色后光学显微镜下观察粘附在小室下层的细胞,400倍下计数10个视野并取平均值。②侵袭实验:50 mg/L的Matrigel胶4 °C融化后用无血清培养基1:8稀释,每小室200 μl包被Transwell小室薄膜上室面,于4 °C下风干备用,余步骤同转移实验。

1.7 划痕实验检测U251 细胞转移能力 细胞接种于6孔板,待其贴壁之后使用200 μl枪头垂直于6孔板底部划痕,PBS洗3次去除划下的细胞,加入培养基后继续培养。倒置显微镜下,0、24 h观察细胞划痕愈合情况,以单位时间内划痕愈合宽度即划痕愈合速度表示细胞迁移能力。

1.8 统计学处理 使用GraphPad Prism 5软件分析,计量资料用 $\bar{x}\pm s$ 表示,采用t检验,以P<0.05为差异有统计学意义。

2 结果

2.1 LRIG1过表达质粒转染及其基因沉默的效果 转染PEGFP-LRIG1质粒后,U251细胞LRIG1 mRNA和蛋白表达水平均明显上调(P<0.05),而转染Si-LRIG1后,U251细胞LRIG1 mRNA和蛋白表达水平均明显下调(P<0.05),见图1。

2.2 LRIG1对U251 细胞侵袭能力的影响 LRIG1过表达组侵袭细胞数量较对照组和空载体组均明显减少(P<0.05),而后两组无统计学差异(P>0.05)。LRIG1低表达组侵袭细胞数量较阴性对照组和对照组均明显增加(P<0.05),而后两组无统计学差异(P>0.05),见图2。

2.3 LRIG1对U251 细胞转移能力的影响 LRIG1过

表达组转移细胞数量较对照组和空载体组均明显减少($P<0.05$)，而后两组无明显差异($P>0.05$)。LRIG1低表达组转移细胞数量较阴性对照组和对照组均明显增加($P<0.05$)，而后两组无明显差异($P>0.05$)，见图3。

2.4 LRIG1对U251细胞SNAI2、E-cadherin mRNA和蛋白表达的影响 LRIG1过表达组U251细胞SNAI2表达水平较对照组和空载体组均明显降低($P<0.05$)，而E-cadherin mRNA和蛋白表达水平明显增高($P<0.05$)；后两组均无统计学差异($P>0.05$)。

LRIG1低表达组U251细胞SNAI2 mRNA和蛋白表达水平较阴性对照组和对照组均明显增加($P<0.05$)，而E-cadherin mRNA表达水平却明显降低($P<0.05$)；后两组均无统计学差异($P>0.05$)，见图4。

3 讨论

LRIG1通过负反馈作用抑制表皮生长因子受体通路从而抑制胶质瘤细胞生长、转移^[1,4]。另外，LRIG1抑制胶质瘤细胞侵袭可能是激活转化生长因子β路促进胶质瘤细胞侵袭与转移，同时伴有

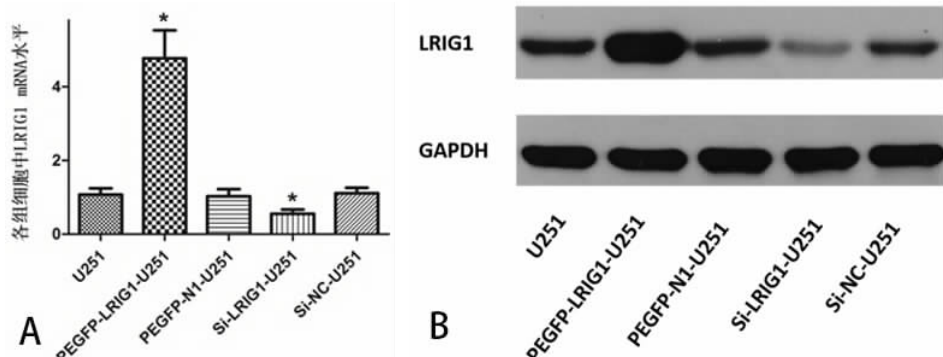


图1 LRIG1过表达质粒转染及其基因沉默的效果

A. 各组细胞LRIG1 mRNA水平比较；B. 各组细胞LRIG1蛋白水平比较；* $P<0.05$, ** $P<0.01$

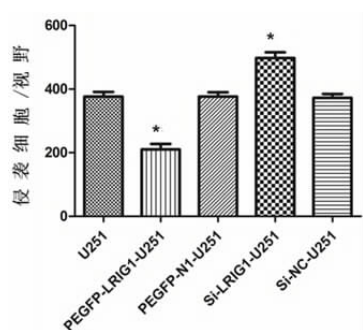


图2 LRIG1对U251细胞侵袭能力的影响
与U251组相应值比,* $P<0.05$

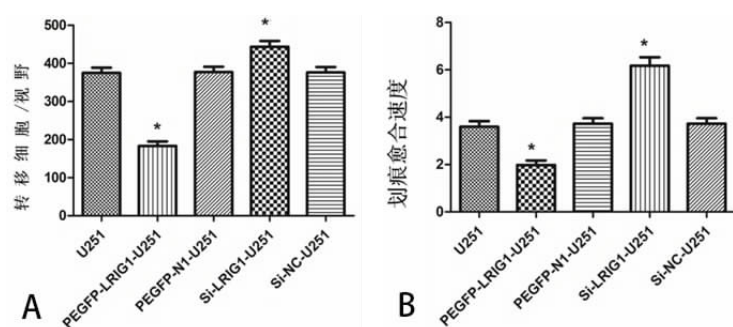


图3 LRIG1对U251细胞转移能力的影响
与U251组相应值比,* $P<0.05$

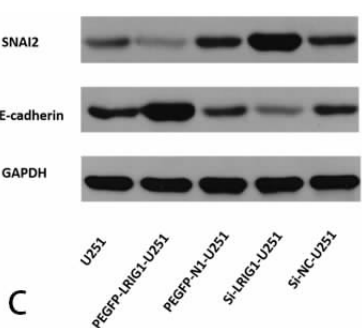
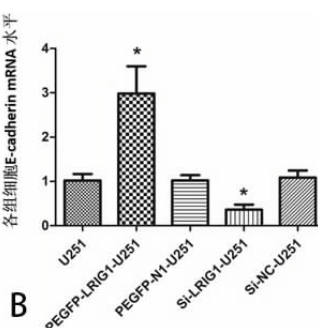
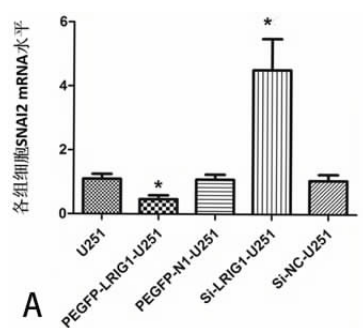


图4 LRIG1对U251细胞SNAI2和E-cadherin mRNA和蛋白表达的影响

A. 各组细胞SNAI2 mRNA水平比较；B. 各组细胞E-cadherin mRNA水平；C. 各组细胞SNAI2和E-cadherin蛋白水平比较；与U251组相应值比,* $P<0.05$

E-cadherin 表达下调^[7-9]。本研究表明过表达LRIG1 的U251 细胞侵袭及转移被明显抑制,而相应地低表达LRIG1 的U251 细胞的侵袭及转移能力明显增强;同时,伴有SNAI2 表达下调和E-cadherin 表达上调。

肿瘤细胞的侵袭和转移是细胞内各种因子及信号通路与细胞外基质相互作用的结果。有研究表明 SNAI2、E-cadherin 调节头颈部癌细胞的侵袭及转移,但受LRIG1 调控^[10]。SNAI2 表达产物Slug 蛋白在多种恶性肿瘤如肺癌、结直肠癌、食管癌、前列腺癌、乳腺癌、卵巢癌和白血病中高表达。SNAI2/Slug 作为EMT 的诱导因子调节胶质瘤细胞的生长与侵袭^[5]。有研究表明 miR-124 可通过调节SNAI2 抑制胶质瘤细胞干细胞样表型及细胞侵袭^[11]。同时,SNAI2 参与Notch1 诱导的胶质母细胞瘤血管形成,而恶性肿瘤新生血管形成能力将不可避免的影响肿瘤细胞诸多表型如细胞生长、侵袭与转移^[12]。

多种不同机制导致的胶质瘤细胞侵袭或转移能力的增强均伴有所不同程度的E-cadherin 表达下调,而SNAI2 与E-cadherin 均是EMT 过程中的关键分子。有报道显示,LRIG1 通过下调EGFR/PI3K/AKT 信号通路及EMT 相关蛋白E-cadherin 和波形蛋白活性抑制低氧环境诱导的胶质瘤血管发生能力^[13],而后者被认为与恶性肿瘤的生长、侵袭与转移息息相关。我们的研究证实,在mRNA 和蛋白水平上,LRIG1 高表达的U251 细胞中SNAI2 表达下调、E-cadherin 表达明显上调;而在LRIG1 低表达的U251 细胞中SNAI2 在表达明显上调、E-cadherin 表达下调,同时伴随细胞侵袭与转移能力的相应改变,这与已有的关于SNAI 与E-cadherin 在肿瘤细胞侵袭与转移中的功能相契合。SNAI2、E-cadherin 在EMT 中的关键作用以及后者与胶质瘤细胞侵袭与转移的密切联系在一定程度上解释了我们关于LRIG1 对胶质瘤细胞侵袭与转移影响的研究。

【参考文献】

- [1] Mao F, Wang B, Xiao Q, et al. A role for LRIG1 in the regulation of malignant glioma aggressiveness [J]. Int J Oncol, 2013, 42(3): 1081-1087.
- [2] 郭振涛,刘宝辉,邓钢,等. LRIG1 抑制人脑胶质瘤细胞增殖的研究[J]. 中国临床神经外科杂志, 2013, 18: 606-

609.

- [3] 丁昊,周志伟,易伟,等. LRIG1 相关功能片段对EGFR 活性和胶质瘤细胞增殖的影响[J]. 中国临床神经外科杂志, 2015, 20: 544-546, 575.
- [4] Stutz MA, Shattuck DL, Laederich MB, et al. LRIG1 negatively regulates the oncogenic EGF receptor mutant EGFRvIII [J]. Oncogene, 2008, 27(43): 5741-5752.
- [5] Yang HW, Menon LG, Black PM, et al. SNAI2/Slug promotes growth and invasion in human gliomas [J]. BMC Cancer, 2010, 10: 301.
- [6] Barami K, Lewis-Tuffin L, Anastasiadis PZ. The role of cadherins and catenins in gliomagenesis [J]. Neurosurg Focus, 2006, 21(4): E13.
- [7] Yu H, Shen Y, Hong J, et al. The contribution of TGF-β in Epithelial-Mesenchymal Transition (EMT): Down-regulation of E-cadherin via snail [J]. Neoplasia, 2015, 62(1): 1-15.
- [8] Ye F, Gao Q, Xu T, Zeng L, et al. Upregulation of LRIG1 suppresses malignant glioma cell growth by attenuating EGFR activity [J]. Neurooncol, 2009, 94(2): 183-194.
- [9] Zhong D, He G, Zhao S, et al. LRIG1 modulates invasion and migration of glioma cell lines through TGF-β signaling pathway [J]. Acta Histochem, 2015, 117(6): 551-558.
- [10] Sheu JJ, Lee CC, Hua CH, et al. LRIG1 modulates aggressiveness of head and neck cancers by regulating EGFR-MAPK-SPHK1 signaling and extracellular matrix remodeling [J]. Oncogene, 2014, 33 (11): 1375-1384.
- [11] Xia H, Cheung WK, Ng SS, et al. Loss of brain-enriched miR-124 microRNA enhances stem-like traits and invasiveness of glioma cells [J]. Biol Chem, 2012, 287(13): 9962-9971.
- [12] Guichet PO, Guelfi S, Teigell M, et al. Notch1 stimulation induces a vascularization switch with pericyte-like cell differentiation of glioblastoma stem cells [J]. Stem Cells, 2015, 33 (1): 21-34.
- [13] Zhang X, Song Q, Wei C, et al. LRIG1 inhibits hypoxia-induced vasculogenic mimicry formation via suppression of the EGFR/PI3K/AKT pathway and epithelial to mesenchymal transition in human glioma SHG-44 cells [J]. Cell Stress Chaperones, 2015, 20 (4): 631-641.

(2016-04-12 收稿, 2016-05-09 修回)